

УДК 541.124.128.2

ФИЗИЧЕСКАЯ ХИМИЯ

В. С. РАФИКОВА, З. К. МАЙЗУС, И. П. СКИБИДА,
академик Н. М. ЭМАНУЭЛЬ

**РОЛЬ РЕАКЦИИ ПЕРЕДАЧИ ЦЕПИ $R_1^{\cdot} + R_2H \rightarrow R_1H + R_2^{\cdot}$ В ЦЕПНОМ
ВЫРОЖДЕННО-РАЗВЕТВЛЕННОМ ПРОЦЕССЕ СОПРЯЖЕННОГО
ОКИСЛЕНИЯ УГЛЕВОДОРОДОВ**

В наших предыдущих исследованиях^(1, 2) было показано, что окисление смесей *n*-декана с этилбензолом при температуре 120°С отличается рядом характерных особенностей, не свойственных процессам низкотемпературного инициированного окисления. Так, при увеличении концентрации этилбензола до 5% скорость окисления *n*-декана возрастает. Однако дальнейшее увеличение содержания этилбензола в смеси приводит к резкому падению скорости окисления *n*-декана, вплоть до полной остановки реакции при содержании этилбензола в смеси ~ 10 об. % (рис. 1, I) (1). Зависимость скорости окисления *n*-декана от состава смеси после прохождения максимума обращена вогнутостью вниз.

Было высказано предположение, что эти особенности объясняются наличием в системе реакций обменного взаимодействия алкильных радикалов *n*-декана с этилбензолом



приводящих к восстановлению в системе *n*-декана⁽¹⁾. Качественно наличие такой реакции передачи цепи было подтверждено в⁽³⁾. Однако оставалось неясным, может ли включение такой стадии в схему процесса совместного окисления привести к резкому (критическому) снижению скорости окисления *n*-декана при незначительном уменьшении концентрации этилбензола.

В настоящей работе при помощи ЭВМ проведен анализ кинетической схемы совместного окисления смеси двух углеводородов с учетом реакции передачи цепи при сравнительно высокой температуре, когда паряду с реакциями перекрестного продолжения и обрыва цепи существенную роль в развитии процесса играет вырожденное разветвление цепи (в приведенной ниже схеме R_1H — *n*-декан; R_2H — этилбензол):

- | | |
|--|--|
| 1. $Y \xrightarrow{O_2} 2rO_2^{\cdot}$, | 12. $R_1OOH + R_1H \rightarrow R_1O^{\cdot} + R_1^{\cdot}$; |
| 2. $rO_2^{\cdot} + R_1H \rightarrow rO_2H + R_1^{\cdot}$; | 13. $R_1OOH + R_2H \rightarrow R_1O^{\cdot} + R_2^{\cdot}$; |
| 3. $rO_2^{\cdot} + R_2H \rightarrow rO_2H + R_2^{\cdot}$; | 14. $R_2OOH + R_1H \rightarrow R_2O^{\cdot} + R_1^{\cdot}$; |
| 4. $R_1^{\cdot} + O_2 \rightarrow R_1O_2^{\cdot}$; | 15. $R_2OOH + R_2H \rightarrow R_2O^{\cdot} + R_2^{\cdot}$; |
| 5. $R_2^{\cdot} + O_2 \rightarrow R_2O_2^{\cdot}$; | 16. $R_1O^{\cdot} + R_1H \rightarrow R_1OH + R_1^{\cdot}$; |
| 6. $R_1 + R_2H \rightarrow R_1H + R_2^{\cdot}$; | 17. $R_1O^{\cdot} + R_2H \rightarrow R_1OH + R_2^{\cdot}$; |
| 7. $R_2^{\cdot} + R_1H \rightarrow R_2H + R_1^{\cdot}$; | 18. $R_2O^{\cdot} + R_1H \rightarrow R_2OH + R_1^{\cdot}$; |
| 8. $R_1O_2^{\cdot} + R_1H \rightarrow R_1OOH + R_1^{\cdot}$; | 19. $R_2O^{\cdot} + R_2H \rightarrow R_2OH + R_2^{\cdot}$; |
| 9. $R_1O_2^{\cdot} + R_2H \rightarrow R_1OOH + R_2^{\cdot}$; | 20. $R_1O_2^{\cdot} + R_1O_2^{\cdot} \rightarrow$ |
| 10. $R_2O_2^{\cdot} + R_1H \rightarrow R_2OOH + R_1^{\cdot}$; | 21. $R_1O_2^{\cdot} + R_2O_2^{\cdot} \rightarrow$ |
| 11. $R_2O_2^{\cdot} + R_2H \rightarrow R_2OOH + R_2^{\cdot}$; | 22. $R_2O_2^{\cdot} + R_2O_2^{\cdot} \rightarrow$ |
- неактивные продукты;

23. $R_1OOH + R_1O_2' \rightarrow R_1O_2'$; 25*. $R_2OOH + R_1O_2' \rightarrow R_1O_2'$;
 24. $R_1OOH + R_2O_2' \rightarrow R_2O_2'$; 26*. $R_2OOH + R_2O_2' \rightarrow R_2O_2'$.

Решение системы уравнений проводили по стандартной программе⁽³⁾ на М-20. Решение выдавалось в виде значений концентраций всех реагирующих частиц и продуктов реакции в любой данный момент времени при заданных значениях констант скоростей элементарных стадий. В табл. 1 представлены интервалы изменения констант, которые были использованы при расчете. Выбор констант скоростей окисления индивидуальных углеводородов проводили таким образом, чтобы получить максимальное совпадение экспериментальных и теоретических кривых расходования R_1H и R_2H .

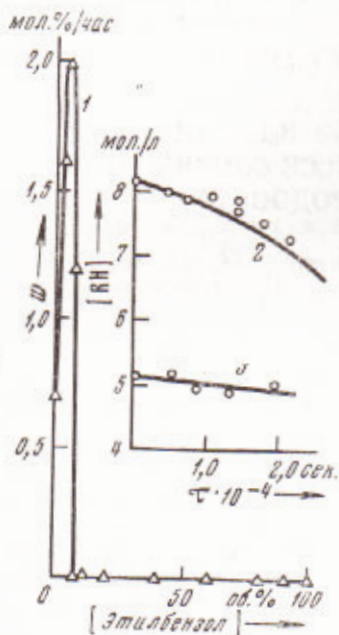


Рис. 1. Зависимость (1) начальной скорости окисления *n*-декана от концентрации этилбензола в смеси. Температура 130°⁽¹⁾. Кинетические кривые расходования *n*-декана (3) и этилбензола (2), рассчитанные на М-20 (значения констант см. в тексте). Точки на кривых 2 и 3 — экспериментальные данные

рестных реакций (без учета реакций 6 и 7) может быть получено ускорение окисления *n*-декана добавками этилбензола (рис. 2а, кривые 1 и 2). Однако резкого торможения окисления *n*-декана малыми добавками этилбензола не наблюдается. После прохождения максимума зависимость w_{R_1H} от $[R_2H]$ обращена выпуклостью вверх. Величины перекрестных констант влияют только на положение и высоту максимума на зависимости w_{R_1H} от $[R_2H]$ (см. рис. 2). Введение в схему процесса реакций 6 и 7 существенно изменяет форму кривой $w_{R_1H} = f([R_2H])$: после прохождения максимума кривая оказывается обращенной вогнутостью вниз (рис. 2а, кривая 3). Высота максимума и резкость снижения скорости окисления *n*-декана после прохождения максимума зависят от величины константы скорости реакции 6 (кривые 1—3, рис. 2б).

Полученные зависимости качественно хорошо описывают экспериментальные данные по совместному окислению *n*-декана и этилбензола. Из сопоставления кривой 1 рис. 1 и 2 рис. 2б видно, что в области малых

* Реакции 25 и 26 впоследствии были исключены из рассмотрения, так как цепной распад гидроперекиси этилбензола не играет существенной роли при окислении этилбензола⁽⁴⁾.

концентраций этилбензола кривые расходования R_1H и R_2H совпадают.

На рис. 1 приведены расчетные кривые расходования *n*-декана (кривая 3) и этилбензола (кривая 2), полученные при следующих значениях констант скоростей, л/моль · сек, элементарных стадий:

для *n*-декана $k_2 = 0.1 \cdot 10^3$; $k_1 = 0.16 \cdot 10^{-1}$ сек⁻¹; $k_4 = 0.48 \cdot 10^6$; $k_8 = 0.25 \cdot 10^2$; $k_{12} = 0.1 \cdot 10^{-5}$; $k_{16} = 0.5 \cdot 10^2$; $k_{20} = 0.9 \cdot 10^8$; $k_{23} = 0.2 \cdot 10^2$.

для этилбензола $k_3 = 0.25 \cdot 10^3$; $k_5 = 0.54 \cdot 10^6$; $k_{11} = 0.3 \cdot 10^2$; $k_{15} = 0.5 \cdot 10^{-6}$; $k_{19} = 0.6 \cdot 10^2$; $k_{22} = 0.4 \cdot 10^8$.

Точки на кривых 2 и 3 — экспериментальные данные. Поскольку было получено удовлетворительное совпадение теоретических и экспериментальных кривых, приведенные выше величины констант скоростей окисления индивидуальных углеводородов использовались в дальнейшем при анализе зависимости скорости окисления *n*-декана от состава смеси *n*-декан — этилбензол.

Оказалось, что при определенных значениях констант скоростей перекре-

стных реакций (без учета реакций 6 и 7) может быть получено ускорение окисления *n*-декана добавками этилбензола (рис. 2а, кривые 1 и 2). Однако резкого торможения окисления *n*-декана малыми добавками этилбензола не наблюдается. После прохождения максимума зависимости w_{R_1H} от $[R_2H]$ обращена выпуклостью вверх. Величины перекрестных констант влияют только на положение и высоту максимума на зависимости w_{R_1H} от $[R_2H]$ (см. рис. 2). Введение в схему процесса реакций 6 и 7 существенно изменяет форму кривой $w_{R_1H} = f([R_2H])$: после прохождения максимума кривая оказывается обращенной вогнутостью вниз (рис. 2а, кривая 3). Высота максимума и резкость снижения скорости окисления *n*-декана после прохождения максимума зависят от величины константы скорости реакции 6 (кривые 1—3, рис. 2б).

Полученные зависимости качественно хорошо описывают экспериментальные данные по совместному окислению *n*-декана и этилбензола. Из сопоставления кривой 1 рис. 1 и 2 рис. 2б видно, что в области малых

Таблица 1

Константы скоростей элементарных стадий

k_1	Интервалы изменения	Источник	Примечания
$k_1 = ek$	$0,16 \cdot 10^{-1}$ сек $^{-1}$	(^{6,7})	$T = 130^\circ$, $e_{\text{ср}} = 0,9$ (s^{-10})
k_2	$0,3 \cdot 10^3$ л/моль·сек	—	Принято \sim в 10 раз больше констант продолжения цепи $k_8 - k_{11}$
k_3	$0,25 \cdot 10^3$ л/моль·сек	—	[O_2] = 10^{-2} мол/л (¹²)
k_4	$(0,46-0,5) \cdot 10^6$ сек $^{-1}$	(¹¹)	[O_2] = 10^{-2} мол/л (¹²)
k_5	$(0,5-0,54) \cdot 10^6$ сек $^{-1}$	(¹¹)	Реакция экзотермическая, идет без энергии активации
k_6	$0-0,1 \cdot 10^7$ л/моль·сек	(^{1,13})	Реакция эндотермическая, энергия активации ~ 5 ккал
k_7	$0-0,1 \cdot 10^3$ л/моль·сек	(^{1,13})	Приняты близкими k_{10} и k_{11} соответственно, так как реакционная способность не слишком сильно зависит от природы радикала
k_8	$(0,06-0,25) \cdot 10^2$ л/моль·сек	—	Принято меньше k_{11} вследствие большей прочности связи С—Н в R_1H , чем в R_2H
k_9	$(0,01-0,2) \cdot 10^3$ л/моль·сек	—	—
k_{10}	$0,1 \cdot 10^{-1}-0,2 \cdot 10^2$	—	—
k_{11}	$0,2 \cdot 10^2-0,4 \cdot 10^2$	(¹⁴)	—
k_{12}	$(0,8-4) \cdot 10^{-6}$ л/моль·сек	(¹⁵)	—
k_{13}	$(0,6-1,5) \cdot 10^{-5}$ л/моль·сек	(¹⁵)	—
k_{14}	$(0,36-2,5) \cdot 10^{-2}$ л/моль·сек	—	Принято меньше k_{15} вследствие большей прочности связи С—Н в R_1H по сравнению с R_2H
k_{15}	$(0,8-5,5) \cdot 10^{-7}$ л/моль·сек	(⁹)	—
k_{16}	$(0,1-0,5) \cdot 10^2$ л/моль·сек	—	Приняты \sim в 10 раз большие константы $k_8 - k_{11}$ вследствие большей реакционной способности RO' по сравнению с RO'_2 (¹¹)
k_{17}	$(0,4-3) \cdot 10^2$ л/моль·сек	—	Рассчитано из k_8 по величинам параметров $k_8 / \sqrt{k_{20}}$ (^{9,16})
k_{18}	$(0,5-4) \cdot 10^2$ л/моль·сек	—	Рассчитано по $k_{21} = \Phi \sqrt{k_{20}k_{22}}$, для $5 \geq \Phi \geq 1$
k_{19}	$(0,5-2) \cdot 10^2$ л/моль·сек	—	—
k_{20}	$(0,4-9) \cdot 10^7$ л/моль·сек	—	Принято, что $[RO'_2]_{\text{max}} = 10^{-6}$ мол/л
k_{21}	$(0,3-2) \cdot 10^8$ л/моль·сек	—	Принято несколько меньше k_{23}
k_{22}	$(0,2-0,4) \cdot 10^8$ л/моль·сек	(^{14, 16, 17})	—
k_{23}	$0-0,2 \cdot 10^4$ л/моль·сек	(¹⁸)	—
k_{24}	$0-0,15 \cdot 10^4$ л/моль·сек	—	—

концентраций R_2H обе кривые проходят через максимум. Максимальная скорость расходования R достигается в обоих случаях при ~ 5 об. % этилбензола в смеси. После прохождения максимума скорость окисления R_1H (рис. 2б, 2) резко уменьшается (в >2 раза при изменении содержания R_2H от 5 до 12% в исходной смеси) *. Максимум скорости расходования n -декана растет с ростом всех констант скоростей продолжения цепи, радикалами R_1O' и R_2O' и с уменьшением констант скоростей перекрестной рекомбинации и индуцированного распада гидроперекиси n -декила.

Увеличение скорости разветвления цепи в зависимости от величины константы скорости может приводить как к увеличению, так и к уменьшению максимума из-за сильного увеличения скорости окисления n -декана в отсутствие добавок этилбензола. Зависимость скорости окисления этилбензола (R_2H) при всех исследованных значениях констант проходит через максимум при разбавлении этилбензола n -деканом (рис. 3а). Однако лишь при учете реакций 6 и 7 передачи цепи максимум становится резким и сдвигается в сторону очень малых концентраций этилбензола (кривые 2 и 3). Кривая после максимума в этом случае направлена вогнутостью вниз, что соответствует экспериментальным данным. Почти ко-

* Некоторое расхождение теоретической и экспериментальной кривых при содержании R_2H в смеси более 10 об. % объясняется, возможно, тем, что использованный в работе (¹) хроматографический метод определения концентрации n -декана не позволял определять скорости расходования этого углеводорода, меньшие 0,2 мол. % в час.

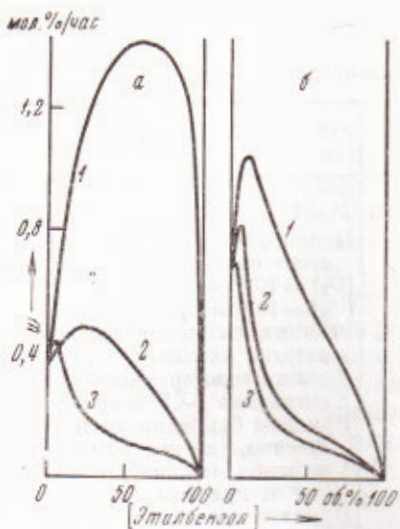


Рис. 2

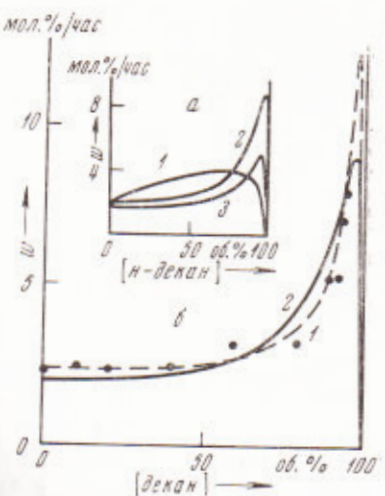


Рис. 3

Рис. 2. Зависимость скорости расходования R_2H от содержания R_2H в исходной смеси при следующих значениях констант. Для всех кривых рис. 2а: $k_8 = 0.15 \cdot 10^2$, $k_9 = 0.1 \cdot 10^3$, $k_{13} = 0.1 \cdot 10^{-4}$, $k_{14} = 0.2 \cdot 10^{-6}$, $k_{17} = 0.3 \cdot 10^3$, $k_{13} = 0.4 \cdot 10^2$, $k_{21} = 0.6 \cdot 10^8$, $k_{23} = 0.1 \cdot 10^3$, $k_{24} = 0.5 \cdot 10^2$, константы $k_1 - k_5$, $k_{11} - k_{12}$, k_{15} , k_{16} , k_{19} , k_{20} , k_{22} даны в тексте. Для кривых: 1 — $k_6 = 0$, $k_7 = 0$, $k_{10} = 0.15 \cdot 10^2$; 2 — $k_6 = 0$, $k_7 = 0$, $k_{10} = 0.7 \cdot 10^1$; 3 — $k_6 = 0.7 \cdot 10^6$, $k_7 = 0.1 \cdot 10^2$. Для всех кривых рис. 2б: $k_7 = 0.1 \cdot 10^3$, $k_8 = 0.25 \cdot 10^2$, $k_9 = 0.15 \cdot 10^3$, $k_{10} = 0.2 \cdot 10^2$, константы $k_1 - k_5$, $k_{11} - k_{23}$ как на рис. 2а. Константа k_6 имела различные значения: 1 — $0.2 \cdot 10^8$, 2 — $0.7 \cdot 10^6$, 3 — $0.1 \cdot 10^7$.

Рис. 3. Теоретические зависимости (а) скорости расходования R_2H от $[R_2H]$ при следующих значениях констант: 1 — то же, что для 1 рис. 2а, 2 — то же, что для 2 рис. 2б, 3 — то же, что для 3 рис. 2а. Зависимости скорости окисления (б) этилбензола от содержания *n*-декана в смеси: 1 — экспериментальные данные работы (1), 2 — теоретический расчет (при тех же значениях констант, что для 2 рис. 3а)

личественное совпадение экспериментальной, полученной в (1), и теоретической кривых, приведенных на рис. 3, служит убедительным доказательством в пользу правильности выбранной схемы совместного окисления с включением реакций 6 и 7 передачи цепи.

Институт химической физики
Академии наук СССР
Москва

Поступило
17 XII 1970

ЦИТИРОВАННАЯ ЛИТЕРАТУРА

- ¹ В. С. Рафиков, И. П. Скибида и др., ДАН, **182**, 357 (1968).
- ² В. С. Рафиков, И. П. Скибида, З. К. Майзус, Нефтехимия, **10**, 672 (1970).
- ³ В. С. Рафиков, И. П. Скибида, З. К. Майзус, Изв. АН СССР, сер. хим., 1969, № 6, 1360.
- ⁴ И. П. Скибида, З. К. Майзус, Н. М. Эмануэль, Нефтехимия, **4**, 82 (1964).
- ⁵ Л. Ю. Русин, Г. А. Фурман, Б. В. Павлов, Кинетика и катализ, **8**, 882 (1967).
- ⁶ F. M. Lewis, M. S. Matheson, J. Am. Chem. Soc., **71**, 747 (1949).
- ⁷ C. G. Oberberger, M. T. O'Shaughnessy, H. Shalit, J. Am. Chem. Soc., **71**, 2661 (1949).
- ⁸ G. A. Russel, J. Am. Chem. Soc., **78**, 1044 (1956).
- ⁹ А. Б. Гагарина, Кандидатская диссертация, ИХФ АН СССР, М., 1965.
- ¹⁰ E. Niki, Y. Kamiya, N. Ohta, Bull. Chem. Soc. Japan, **42**, 3220 (1969).
- ¹¹ Н. М. Эмануэль, Е. Т. Денисов, З. К. Майзус, Цепные реакции окисления углеводородов в жидкой фазе, «Наука», 1965, стр. 100.
- ¹² З. К. Майзус, Н. М. Эмануэль, В. Н. Яковлева, ДАН, **143**, 366 (1962).
- ¹³ В. Н. Кондратьев, Кинетика химических газовых реакций, М., Изд. АН СССР, 1958.
- ¹⁴ В. Ф. Цепалов, В. Я. Шляпников, ДАН, **124**, 883 (1959); Кинетика и катализ, **6**, 870 (1962).
- ¹⁵ З. К. Майзус, И. П. Скибида, Н. М. Эмануэль, ДАН, **131**, 880 (1960).
- ¹⁶ А. А. Вичутинский, ДАН, **157**, 150 (1964).
- ¹⁷ J. A. Howard, K. U. Ingold, Canad. J. Chem., **44**, 4199 (1966).
- ¹⁸ З. К. Майзус, И. П. Скибида и др., Кинетика и катализ, **1**, 55 (1960).